



Fig. 5 Photograph of a machined CT specimen

شکل ۵ تصویر یک نمونه ماشین کاری شده CT

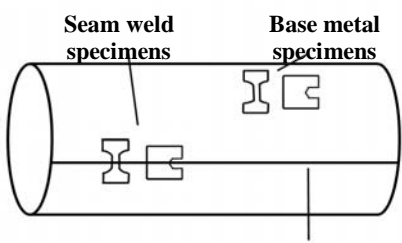


Fig. 6 Orientation of tests specimens in the research

شکل ۶ جهت‌های نمونه‌های آزمایش تحقیق حاضر



Fig. 7 Photograph of unloading compliance test equipment

شکل ۷ تصویر تجهیزات آزمایش نرمی باربرداری

دوران باعث بوجود آمدن خطأ در مقادیر نرمی محاسبه شده می‌شود. برای رفع این خطأ، مقادیر نرمی محاسبه شده با رابطه (1) را با استفاده از رابطه‌های (A2.14) و (A2.15) استاندارد ASTM E1820 [5] اصلاح می‌کنند. پس از اصلاح مقادیر نرمی، پارامتر u_i با استفاده از رابطه (2) برای هر سیکل تعیین شد.

$$u_i = \frac{1}{(B_e E C_i)^{\frac{1}{2}} + 1} \quad (2)$$

و انتشار ترک در مسیر مستقیم، شیارهای جانبی¹ در راستای رشد ترک ایجاد شدند. ضخامت نمونه‌ها در محل شیار مطابق توصیه استاندارد، ۰.۸ برابر ضخامت اولیه نمونه‌ها (۱۶ میلی‌متر) انتخاب شد. آزمایش‌های تعیین K_{IC} روش تک‌نمونه‌ای و استفاده از شیوه نرمی باربرداری جهت تخمین طول ترک در مراحل مختلف رشد آن با استفاده از دستگاه سنتام مدل STM - 150 با ظرفیت ۱۵ تن و نرخ بارگذاری ۳ میلی‌متر بر دقیقه انجام شدند. برای اندازه‌گیری مقدار جایجایی دهانه ترک²، از یک کلیپ گیج³ با محدوده اندازه ۷ گیری - ۱۴ میلی‌متر و دقت ۰.۰۰۱ میلی‌متر استفاده شد. در شکل ۷ تصویر دستگاه آزمایش، قید و بند ساخته شده و کلیپ گیج مشاهده می‌شود. نمونه آزمایش بدلیل آنکه بطور کامل در داخل قید و بند قرار گرفته است در این شکل بطور واضح دیده نمی‌شود. در شکل ۸ نمودارهای نیرو - جایجایی بدست آمده برای بدن و درزجوش نشان داده شده است. همان‌طور که مشاهده می‌شود، فرایند بارگذاری - باربرداری برای هر کدام از نمونه‌ها ۱۵ مرتبه تکرار شده و مقدار باربرداری در هر سیکل ۲۴٪⁴ الی ۵۰٪⁵ نیروی بیشینه آن سیکل است. بر طبق استاندارد مقدار باربرداری نباید از ۵۰٪ نیروی بیشینه هر سیکل بیشتر باشد [5].

برای انجام محاسبات لازم جهت تعیین چقرمگی با استفاده از داده‌های نمودار نیرو - جایجایی، نیاز است ابتدا طول اولیه ترک (a_0) تعیین شود. این طول برابر مجموع طول شیار ماشین کاری شده (۱۸ میلی‌متر در تحقیق حاضر) و طول ناحیه خستگی است. بعد از انجام آزمایش، جهت دسترسی به سطوح شکست منظور اندازه گیری طول اولیه ترک، نمونه‌ها پس از نگهداری به مدت زمان کافی در داخل نیتروژن مایع، بلافضله با اعمال نیروی کافی در دستگاه کشش بصورت ترد شکسته شدند. برای محاسبه طول اولیه ترک از سطوح شکست نمونه‌ها عکس با کیفیت بالا تهیه می‌شود. عکس‌های تهیه شده در یکی از نرم‌افزارهای تحلیل تصویر بررسی می‌شوند. بر طبق استاندارد، طول اولیه مربوط به رشد پایدار ترک از انتهای سطح صاف و هموار ایجاد شده در اثر خستگی اندازه گیری می‌شود. بدین منظور نه نقطه با فاصله‌های مساوی در راستای ضخامت نمونه انتخاب می‌شوند. میانگین طول دو نقطه نزدیک به سطوح جانبی نمونه و میانگین طول هفت نقطه باقی مانده محاسبه می‌شود. میانگین دو عدد محاسبه شده برابر طول اولیه ترک فرض می‌شود. مطابق استاندارد، طول ناحیه خستگی باید از مقادیر ۱.۳ میلی‌متر و ۰.۰۵ B (یک میلی‌متر در تحقیق حاضر) بیشتر باشد و طول اولیه ترک باید عددی بین ۰.۴۵ W و ۰.۷ W (۱۸ و ۲۸ میلی‌متر در تحقیق حاضر) باشد [5]. سطح خستگی و شکست یکی از نمونه‌ها در شکل ۹ نشان داده شده است.

با بررسی نمونه‌ها پس از انجام آزمایش‌ها اثری از لایه شدن ماده مشاهده نشد. پس از اندازه گیری‌ها و انجام محاسبات، طول ناحیه خستگی و طول اولیه ترک برای نمونه بدن به ترتیب ۱.۷ و ۱۹.۷ میلی‌متر و برای نمونه درزجوش ۲.۱ و ۲۰.۱ میلی‌متر محاسبه شدند. در مرحله بعدی مقادیر نرمی برای هر پانزده سیکل بارگذاری - باربرداری با استفاده از رابطه (1) تعیین شدند.

$$C_i = \left(\frac{\Delta V}{\Delta P} \right)_i \quad (1)$$

در رابطه (1)، ΔV و ΔP به ترتیب مقادیر افزایش جایجایی و افزایش نیرو در هر سیکل هستند. به دلیل اینکه راستای نیروی وارد بر نمونه آزمایش از مرکز تقل آن عبور نمی‌کند، نمونه در هین آزمایش دوران می‌کند. این

¹ Side grooves² Crack mouth opening displacement (CMOD)³ Clip gage

7- مراجع

- [1] M. A. Carbal, M. J. Kimber, Pipeline fracture experiences in Australia and north America, *Pipeline fracture experience*, version 3, pp. 1-21, 1997.
- [2] J. B. Ju, W. S. Kim, J. I. Jang, Variations in DBTT and CTOD within weld heat-affected zone of API X65 pipeline steel, *Material Science and Engineering A*, Vol. 546, No.1, pp. 258-262, 2012.
- [3] S. F. Medina, L. Rancel, M. Gomez, J. M. Amo, Prediction of K_{IC} in a high strength bainitic steel, *Engineering Failure Analysis*, Vol. 35, No.1, pp. 524-532, 2013.
- [4] A. A. Baron, The generalized diagram of fracture toughness for pipeline steels, *International Journal of Pressure Vessels and Piping*, Vol. 98, No.1, pp. 26-29, 2012.
- [5] ASTM standaed: E1820-13, *Standard test method for measurement of fracture toughness*, American Society for Testing and Materials, 2013
- [6] X. Zhu, J. A. Joys, Review of fracture toughness (G, K, J, CTOD, CTOA) testing and standardization, *Engineering Fracture Mechanics*, Vol. 85, No. 1, pp. 1-46, 2012.
- [7] M. Nakhaei, S. H. Hashemi, Investigation of continuous cooling transformation behavior of API X70 gas and oil pipeline steel, *Modares Mechanical Engineering*, Vol. 15, No. 4, pp. 133-140, 2015. (in Persian)
- [8] API standard: 5L-44, *Specifications for line pipe*, American Petroleum Institute, 2012.
- [9] S. H. Hashemi, D. Mohammadyani, Characterisation of weldment hardness, impact energy and microstructure in API X65 steel, *International Journal of Pressure Vessels and Piping*, Vol. 98, No.1, pp. 8-15, 2012.
- [10] ASTM standard: E8/E8M-11, *Standard test methods for tension testing of metallic materials*, American Society for Testing and Materials, 2011.
- [11] J. S. Lee, J. B. Ju, J. I. Jang, W. S. Kim, D. Kwon, Weld crack assessment in API X65 pipeline: failure assessment diagrams with variations in representative mechanical properties, *Materials Science and Engineering A*, Vol. 373, No. 1, pp. 122-130, 2004.
- [12] Z. Z. Yang, W. Tian, Q. R. Ma, Y. L. Li, J. K. Li, J. Z. Gao, H. B. Zhang, Mechanical properties of longitudinal submerged arc wedged steel pipes used for gas pipeline of offshore oil, *Acta Metallurgica Sinica*, Vol. 21, No. 2, pp. 85-93, 2008.
- [13] S. H. Hashemi, M. Kymyabkhsh, Experimental and numerical determination of fracture toughness in gas pipeline steel of grade API X65, *Amirkabir University of Technology*, Vol. 45, No. 2, pp. 1-9, 2013. (in Persian)
- [14] A. Farrahi, S. H. Hashemi, Experimental evaluation of fracture toughness in spiral seam weld of thermomechanical steel, *Journal of Solid and Fluid Mechanics*, Vol. 2, No. 4, pp. 25-35, 2012. (in Persian)

حاضر از این روش برای اولین بار در کشور در بررسی چقزمگی خطوط لوله انتقال گاز استفاده شده است.

نتایج بدست آمده در تحقیق حاضر انطباق خوبی با نتایج تحقیقات مرتبه دارند. به عنوان نمونه، مرجع [11] مقدار K_{IC} را برای بدنه و درزجوش لوله API X65 به ترتیب برابر $267 \text{ MPam}^{0.5}$ و $300 \text{ MPam}^{0.5}$ تعیین کرده است. مقدار K_{IC} محاسبه شده توسط مرجع [12] نیز برای بدنه و درزجوش همان لوله، به ترتیب $282 \text{ MPam}^{0.5}$ و $250 \text{ MPam}^{0.5}$ می‌باشد. مراجع [11] و [12] در تحقیق خود مانند تحقیق حاضر از روش تکنونمایی برای تعیین K_{IC} استفاده کرده‌اند. تفاوت موجود بین تحقیق آنها و تحقیق حاضر در این است که آنها بجای J_{IC} یک معیار دیگر چقزمگی یعنی مقدار جابجایی بازشدنگی نوک ترک¹ را محاسبه کرده‌اند و سپس برای تعیین K_{IC} از رابطه ریاضی موجود بین دو معیار فوق استفاده نموده‌اند. همچنین نمونه آزمایش مورد استفاده در بررسی‌های دو مرتع مورد اشاره، متفاوت از نمونه آزمایش تحقیق حاضر و از نوع خمی با شیار واحد در لبه² بوده است. از بین مراجع داخلی، مرجع [13] مقدار K_{IC} درزجوش این لوله توسط تعیین کرده است. در تحقیقی دیگر، مقدار K_{IC} درزجوش این لوله توسط مرجع [14] برابر $265 \text{ MPam}^{0.5}$ محاسبه شده است. مراجع [13] و [14] در تحقیق خود برخلاف تحقیق حاضر از روش چندنمونه‌ای و نمونه آزمایش خمی با شیار واحد در لبه استفاده کرده‌اند. با وجود این تفاوت‌ها، اختلاف در نتایج حاصله آنها با نتایج تحقیق حاضر نسبتاً کم است.

6- تقدیر و تشکر

از منطقه هشت عملیات انتقال گاز شرکت ملی گاز ایران جهت در اختیار گذاشتن لوله فولادی API X65 API X65 تشرک و قدردانی می‌شود.

¹ Crack tip opening displacement (CTOD)
² Single edge – notched bend (SENB)